

群山工業地域의 TCM模型을 適用한 大氣污染物質 管理方案에 關한 研究

金榮植 · 金錫載* · 金東述*

勤勞福祉會社 職業病研究所 · *國立保健院

A Study on the Method of Air Quality Management Using TCM Model in Industrial Area

Young Sik Kim · Serk Jai Kim* · Dong Sul Kim*

Institute of Occupational Diseases, Korea Labour Welfare Corporation

* National Institute of Health

ABSTRACT

This study was performed to evaluate a applicability of TCM(Texas Climatological Model) model to a industrial area such as CUNSAN and a possibility to provide necessary informations for air quality management.

The air pollutants were measured at 6 sampling sites of GUNSA industrial area from june to july in 1989.

The model was checked by comparing the observed data with estimated data. The meteorological data for wind direction and wind speed were obtained from the observatory station in GUNSA.

The results are summarized as follows.

1. Average concentrations of air pollutants at all sampling sites were; SO₂ 0.011-0.019 ppm, NO₂ 0.012-0.017 ppm, CO 0.6-1.0 ppm, TSP 45.8-64.2 $\mu\text{g}/\text{m}^3$.
2. The emission amounts show that point source are in general higher than area source.
3. As a results of correlation analysis, relationship between SO₂ concentration in the observed value and estimated value showed positive significance.(r = 0.766)
4. The sulfer content of the 1.6% at present to 0.8%, which means a 53.3% reduction. By controlling stack height could be lowered 14.5%, but the effective way of emission control is use of the lower sulfer fuels than controlling stack height.
5. The ratio between SO₂ contration in the observed value and estimated value showed 1.05. Therefore, the TCM model was quite effective in predicting air quality in GUNSA industrial area.

I. 緒論

各種 汚染源에서 排出되는 大氣污染物質은 大氣

中에서 多樣한 規模로 發生되는 大氣運動에 따라
移動되고 廣散된다. 따라서 特定地域의 大氣污染
程度는 그 地域에서 排出되는 污染物質과 氣象與件
에 따라 決定되며, 그지역의 大氣環境基準을 達成

하기 위하여 여러가지 대案을 比較, 檢討한 後 汚染排出源 規制方案과 地域開發 計劃등에 關한 最適案을 選擇하고, 細部의인 施行計劃과 汚染負荷가 大氣質에 影響을 미치는 가를 豫測하여야 한다.

이와같은 大氣污染의 豫測은 國土開發과 未來指向의in 對策을 樹立 作成하기 위하여 必要한 方法으로 現在 大氣污染擴散 model이 많이 利用되고 있으며, 大氣污染擴散 model을 特性別로 分類하면¹⁾ Gaussian model, Numerical model, Statistical or Empirical model 그리고 Physical model으로 區分할 수 있다. 이중에서 使用의 簡便하고 電算入力資料의 獲得 및 假定에 無理가 없어 使用者 個人差에 의한 誤差가 거의없는 Gaussian model이 가장 널리 使用되고 있다. Gaussian擴散式을 基礎로 Wanta²⁾, Moses³⁾ 等이 일찌기 model을 통하여 汚染度豫測의 可能性을 提示하였으며, 實際로 大氣污染擴散 model은 原子力發電所 設置를 위한 大氣質影響豫測에 首先 適用되었다.⁴⁾

한편 國內에서는 大氣污染度豫測의 必要性을 認識하여 1972年 尹等⁵⁾ 實測污染度(粉塵, SO₂)와 氣候要素를 MCA(Multiple Classification Analysis)와 AID(Auto Interaction Detector)의 統計處理技法으로 電算處理하여 汚染度를豫測하였으며, 李等⁶⁾ 1979년에 蔚山地域의 SO₂ 汚染度豫測에 TCM을 利用하여豫測한 바 있고, 1982年, 1983年에 신等^{7,8)} 1985年 金等⁹⁾, 1986年 宋等¹⁰⁾, 1987年 宋等¹¹⁾과 李等¹²⁾, 그리고 1988年 李等¹³⁾과 姜等¹⁴⁾이 大氣污染擴散 model에 關한 研究를 한 바 있다.

本研究에서는 大氣污染度豫測을 위하여 工業地域을 對象으로 長期性 model인 TCM model을 利用하여 對象地域의 面污染源과 點污染源에서 發生되는 汚染物質의 排出量을 算定한 後, 氣象綜合頻度(Joint Frequency Function) 資料를 使用하여 大氣污染物質인 TSP(Total Suspended Particulates), SO₂, NO₂, CO의豫測結果와 實測值을 比較하여 TCM model適用可能性을 判斷하였고, 對象地域의 SO₂濃度低減 方案에 關하여 研究하였다.

II. TCM 模型의 原理

TCM(Texas Climatological Model)은 1975年에 Texas Air Control Board에서 開發되어 1980年에

修正된 模型으로 Briggs의 憂氣上昇式, Pasquill-Gifford의 擴散係數式, 汚染物의 半減式과 Gaussian擴散式에 根據를 두고 있으며 地上에서의 長期濃度를豫測하도록 考案되었다.¹⁵⁾

TCM은 主로 다음과 같은 目的에 使用된다.

- (1) 煙突設計因子 研究
- (2) 新로운 汚染源에 對한 影響評價
- (3) 燃料代替計劃
- (4) 測定網設計
- (5) 大氣污染統計技術 評價
- (6) 大氣污染統制戰略 評價
- (7) 深刻한 大氣質惡化의 防止

Gaussian長期擴散式에 根據를 둔 TCM에서 k번 째 風向 sector에서 任意의 着地點에서의 平均地上濃度 $C_p(\mu\text{g}/\text{m}^3)$ 는 다음과 같이 表示된다.

$$C_p(k, \rho) = \frac{32 \times 10^6 Q}{(2\pi)^{3/2} \rho} \left[\frac{\phi(k, m)}{U^*(H, m) \sigma_z(m)} \exp\left(-\frac{H^2}{2\sigma_z(m)^2}\right) \right] \dots \quad (1)$$

여기서

Q =污染物 排出量(grams/sec)

ρ =煙突에서 着地點까지의 距離(meters)

$\phi(k, m)$ =氣象 綜合頻度 係數

k =風向 sector

m =大氣安定度

$U^*(H, m)$ =安定度 m 일때 煙突높이 H 에서의 加重平均風速(meters/sec)

$\sigma_z(m)$ =垂直擴散係數(meters)

H =有効煙突高(meters)

III. 調查對象 및 方法

1. 調查對象

本調査對象地域은 海岸에 隣接한 臨海工業地域으로 工業施設이 密集되어 있어 點污染源의 追跡이 容易하고 周邊地域에 顯著한 汚染物質 排出源이 거의 없는 편이며 面污染源에 의한 面汚物質 排出量이 點污染源에 비하여 相對적으로 적은 特性을 가지고 있기 때문에 模型適用時 入力資料의 活用에 많은 長點을 가진 地域이다. 따라서 大氣質污染現況을 把握하기 위하여 Fig. 1에서 보는 바와 같이 1989年 6月부터 7月에 걸쳐서 群山工業團地의

少龍洞을 中心으로 6個地點을 選定하여 시료를 채취하였으며, UTM(Universal Traverse Mercator)座標上 位置는 TM-X : 169, TM-Y : 275.5을 中心基点으로 230km(X : 11.5km Y : 20km)에 該當하는 面積을 對象으로 調査하였다.

2. 調査 方法

(1) 大氣質 測定

大氣質 測定方法은 現行 環境保全法上의 環境基準項目인 亞黃酸ガス(SO_2), 一酸化炭素(CO), 二酸化炭素(NO_2), 總浮遊粉塵(TSP)의 4個項目을 Table 1에서 나타난바와 같이 環境汚染公定試驗法에¹⁶⁾ 依據하여 分析하였다.

(2) 風向 및 風速

對象地域의 大氣污染物質豫測濃度를 實測值와 比較하기 위하여 風向과 風速은 Windcator 및 Wind Vane & Anemometer(Nippon Electric Instrument Inc. Tokyo, Japan)에 Liner Log Graphic Recorder(Bechman Inst. Co. USA)를 連結하여 大氣污染濃度를 測定하는 동안 繼續하여 計測 記錄하였다.

IV. 結果 및 考察

1. 測定結果

(1) 大氣質

本 對象地域 및 周邊地域의 特性을 考慮하여 6個地點을 選定하여 2回(1次 : 1989. 6. 28 – 6. 30, 2次 : 1989. 7. 1–7. 3)에 걸쳐 測定 分析한 結果는 Table 2와 같다.

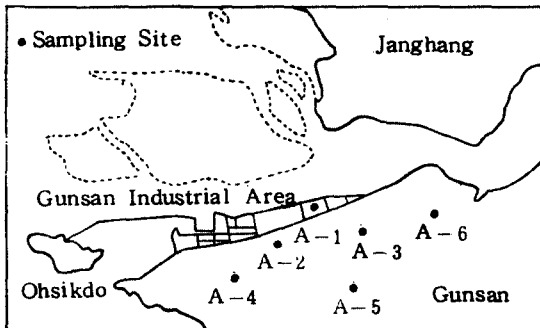


Fig. 1. Study area and sampling sites in GUNSAN.

調查地點의 大氣質 濃度는 SO_2 : 0.010–0.021ppm, NO_2 : 0.011–0.018ppm, CO : 0.6–1.2ppm, TSP : 447–66.7 $\mu\text{g}/\text{m}^3$ 으로 環境基準值 (SO_2 : 0.050ppm NO_2 : 0.05ppm, CO : 8ppm, TSP : 150 $\mu\text{g}/\text{m}^3$)에 미치지 못하는 大氣質을 維持하는 것으로 나타났으며, 이는 測定期間이 夏節期로서 燃料使用量이 다른 季節에 比하여 작기 때문에 汚染物質의 濃度가 낮은 것으로 判斷된다.

(2) 風向 및 風速

調查地域의 風向 現況을 보면 Table 3에 나타난 바와 같이 主風向은 西北西(WNW)風 이었으며, 平均風速은 2.6–4.6m / sec, 最大風速은 9.7m / sec로 나타났다. Fig. 2는 群山地域의 年平均風速, 風向을 綜合한 바람 薔薇圖(Wind Rose)로서 西北西風이 卓越한 것으로 나타났다.

2. 面 및 點污染源에서 排出되는 汚染物質 算定

Table 1. Methods for analysis of air pollutants.

| Items | Methods | Principles of Analysis |
|---------------|-------------------------------|--|
| SO_2 | Pararosaniline Method | 0.04M TCM 吸收液에 SO_2 를 吸收 Pararosaniline 과 Formaldehyde로 발색, 吸光 光度計로 548nm 에서 測定 |
| NO_2 | Saltzman Method | Saltzman 吸收液에 NO_2 를 吸收 吸收發色液을 545nm에서 測定 |
| CO | Nondispersive Infrared Method | CO의 赤外線 領域에서 光吸收되는 原理를 利用하여 空氣中 CO濃度를 非分散赤外線 가스 分析器로 分析 |
| TSP | High Volume Air Sampler | Sampling의 滤過紙 흡기에 유리 纖維滤紙를 附着시켜 空氣를 通過시킨 다. 捕集된 滤紙를 恒量시켜 秤量한다. |

Table 2. Concentration of air pollutants.

| Sampling Site | Measured No. | SO ₂ (ppm) | NO ₂ (ppm) | CO (ppm) | TSP ($\mu\text{g}/\text{m}^3$) |
|---------------|--------------|-----------------------|-----------------------|----------|----------------------------------|
| So Ryong | 1 st | 0.012 | 0.015 | 0.6 | 48.2 |
| Dong | 2 nd | 0.014 | 0.014 | 0.8 | 51.6 |
| (A - 1) | Mean | 0.015 | 0.015 | 0.7 | 49.9 |
| Jang Jeon | 1 st | 0.017 | 0.014 | 0.6 | 52.5 |
| Village | 2 nd | 0.013 | 0.014 | 0.6 | 48.5 |
| (A - 2) | Mean | 0.015 | 0.014 | 0.6 | 50.5 |
| Gun San Jun. | 1 st | 0.021 | 0.017 | 1.2 | 62.9 |
| College | 2 nd | 0.017 | 0.015 | 0.8 | 58.5 |
| (A - 3) | Mean | 0.019 | 0.016 | 1.0 | 60.7 |
| Ok Sung | 1 st | 0.010 | 0.013 | 0.8 | 44.7 |
| Village | 2 nd | 0.012 | 0.011 | 0.9 | 46.9 |
| (A - 4) | Mean | 0.011 | 0.012 | 0.9 | 45.8 |
| Chil Sung | 1 st | 0.021 | 0.016 | 1.0 | 56.2 |
| Village | 2 nd | 0.017 | 0.012 | 0.8 | 54.6 |
| (A - 5) | Mean | 0.019 | 0.014 | 0.9 | 55.4 |
| Ok Gu | 1 st | 0.014 | 0.018 | 1.0 | 66.7 |
| Kun Office | 2 nd | 0.010 | 0.016 | 0.9 | 61.7 |
| (A - 6) | Mean | 0.012 | 0.017 | 1.0 | 64.2 |

對象地域 및 周邊地域의 大氣質 汚染源은 크게
主宅의 炊事, 煖房燃料의 燃燒時 排出되는 面污染
原과 아파트, 工場에서 排出되는 點污染源으로 區
分된다.

面污染源에 의한 燃料 使用量을 算出하기 위해서
群山市 統計年報(1988年)와 行政區域을 參照하였
으며, 格子內 家口數는 3,592家口로 1家口當 煉炭
使用量은(1987年 基準) 2.88 장 / 日로, 季節別 燃
料 使用構成比는 春 : 30.14%, 夏 : 4.34%, 秋
: 18.24%, 冬 : 47.24%로 나타났다.¹⁷⁾ 따라서 格子
內 家口에서 使用되는 無煙炭의 量은 Table 4에 나
타난바와 같이 年4,001,488장을 使用하고, 季節別
分布를 보면 春 : 1,206,048장, 夏 : 173,665장 秋
: 731,473장, 冬 : 1,890,302장으로 나타났다. 排
出되는 汚染物質을 Table 5의 燃料 排出係數를 適
用하여^{18,19)} 算出한 結果는 Table 6과 같이 年平均
排出量은 TSP : 0.0906g / sec, SO₂ : 4.9771g / sec,
NO₂ : 0.1103g / sec, CO : 17,220 2g / sec로 나타
났다.

點污染源의 大部分은 群山 第1工團 入住業體로
서 大氣排出施設實態調查表를 根據로 하여 各 汚染
物質 排出源을 調查한 結果 總 42個 產業施設로 對

象施設의 年間 燃料使用量은 大部分 B-C油와 輕油
로 年間燃料 使用量은 B-C油 : 318,741kL, 輕油 : 8,
166kL로 나타났으며, Table 6의 汚染物質 排出係數
를 適用한 結果 年平均 汚染物質 排出量은 TSP :
122.27g / sec, SO₂ : 881.82g / sec, NO₂ :

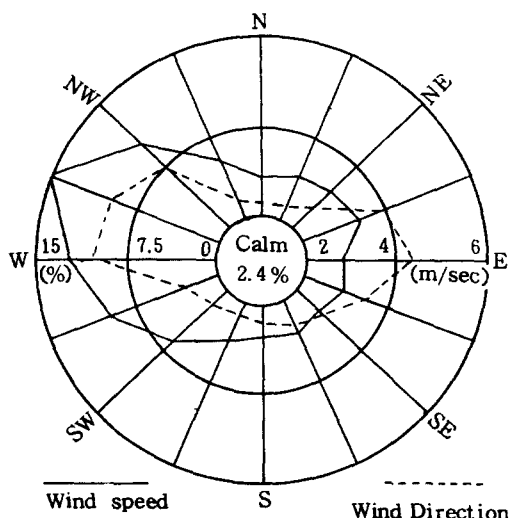


Fig. 2. Wind speed and wind direction distribution.

158.72g / sec, CO : 103.39g / sec로 Table 7에서 보는 바와 같다.

3. 模型의 適合性 對象地域 및 周邊地域에 長期擴散 模型인

Table 3. Wind direction and wind speed of research area.

| Date | Atmospheric Condition | Barometric Pressure(mb) | Wind Direction | Mean Wind Speed, m/s | Max. Wind Speed, m/s |
|-------|-----------------------|-------------------------|----------------|----------------------|----------------------|
| 6. 38 | Clear | 1. 006. 3 | WNW | 3. 8 | 6. 5 |
| 6. 29 | Cloudy | 1. 006. 5 | WNW | 2. 6 | 6. 0 |
| 6. 30 | Clear | 1. 007. 0 | WNW | 3. 7 | 7. 3 |
| 7. 1 | Cloudy | 1. 010. 8 | WNW | 4. 0 | 9. 7 |
| 7. 2 | Cloudy | 1. 013. 2 | W | 4. 0 | 6. 8 |
| 7. 3 | Cloudy | 1. 014. 3 | WNW | 4. 6 | 8. 0 |

Table 4. Fuel consumption amounts used in model.

| Items | Annual | Spring | Summer | Autumn | Winter |
|---------------------|-------------|-------------|----------|----------|-------------|
| Anthracite Coal(EA) | 4, 001, 448 | 1, 206, 048 | 173, 473 | 731, 473 | 1, 890, 302 |
| B-C oil(kl) | 318, 741 | 88, 631 | 68, 247 | 66, 600 | 95, 263 |
| Light oil(kl) | 8, 166 | 692 | 2, 606 | 1, 813 | 3, 054 |
| Wood(Ton) | 90, 286 | 22, 389 | 20, 608 | 22, 039 | 25, 250 |

Table 5. Emission factors of each fuel sources.

| Fuels | Units | TSP | SO ₂ | NO ₂ | CO | Remarks |
|-----------------|-------|-------|-----------------|-----------------|-------|------------|
| Anthracite Coal | kg/Mt | 0. 2 | 10. 9 | 0. 25 | 37. 7 | |
| B-C oil | kg/kl | 5. 38 | 19. 9 | 0. 63 | 7. 5 | S : 1. 6 % |
| Light oil | kg/kl | 0. 25 | 17. 0 | 0. 63 | 2. 8 | S : 1. 6 % |
| Wood | kg/Mt | 4. 6 | 2. 7 | 0. 39 | 39. 9 | |

Table 6. Emission amounts of used anthracite coal.

| Seasons | TSP | SO ₂ | NO ₂ | CO |
|------------|---------|-----------------|-----------------|----------|
| Year Means | 0. 0906 | 4. 9771 | 0. 1103 | 17. 2202 |
| Spring | 0. 1087 | 5. 9517 | 0. 1322 | 20. 5916 |
| Summer | 0. 0154 | 0. 8572 | 0. 0189 | 2. 9651 |
| Autumn | 0. 0666 | 3. 6490 | 0. 0808 | 12. 6251 |
| Winter | 0. 1666 | 9. 5350 | 0. 2125 | 32. 9900 |

Table 7. Emission amount of used B-C oil and light oil.

| Seasons | TSP | SO ₂ | NO ₂ | CO |
|------------|---------|-----------------|-----------------|---------|
| Year Means | 122. 27 | 881. 82 | 158. 72 | 103. 39 |
| Spring | 136. 02 | 990. 01 | 239. 50 | 115. 08 |
| Summer | 106. 75 | 753. 57 | 147. 23 | 90. 41 |
| Autumn | 103. 88 | 751. 37 | 106. 13 | 89. 23 |
| Winter | 137. 16 | 1, 057. 0 | 150. 67 | 122. 01 |

TCM(Texas Climatological Model)을 利用하여, 各種 汚染源을 夏節期의 氣象資料를 利用하여 모델링 하였으며, 對象地域에서 TCM의 適合性을 判斷하기 위해 實測值와 模型의 豫測值와의 相關度를 最小自剩法에 의하여 求한 回歸方程式과 相關關係는 Table 8과 같다.

Table 8에 나타난 바와 같이 相關係數 r 은 $\text{SO}_2 : 0.766$, $\text{NO}_2 : 0.253$, $\text{CO} : 0.302$, $\text{TSP} : 0.623$ 으로 나타났다. 이중에서 NO_2 , CO , TSP 의 境遇 實測值와 模型에 依한 豫測值가 매우 큰 差異를 보이고 있다. 이와 같은 差異는 一般的으로 大氣汚染物質의 排出 特性으로부터 說明될 수 있다. CO 와 NO_2 는 面 및 點汚染源의 固定排出源보다 自動車와 같은 線汚染源의 移動排出源에 크게 影響을 미치는데 比하여 線汚染源의 追跡이 困難하였고, 특히 TSP 의 境遇 飛散粉塵과 海鹽粒子에 의해 크게 影響을 받는데 起因되는 것으로 思料된다.

그러나 SO_2 의 境遇에는 大部分 面 및 點汚染源에서 主로 發生되기 때문에 實測值와 豫測值의 差가 적은 것으로 나타났다. 따라서 본 模型에 의해

豫測한 濃度와 實測濃度가 잘 附合되는 項目은 SO_2 로 볼 수 있다.

이와 같은 傾向은 TCM模型을 適用시 非反應性物質(Non-Reactive Pollutants)인 SO_2 는 잘 附合되었으나, 反應性物質(Reactive Pollutants)인 NO_2 , CO 等은 豫測值의 程度가 매우 낮다는 模型 自體의 制限點으로도 說明될 수 있다.¹⁵

4. 實測值와 豫測值와의 比較

對象地域의 實測濃度와 TCM에 의한 豫測濃度比는 Table 9에 나타난 바와 같다.

各 測定地點別 實測濃度(OBS)와 TCM에 의한 豫測濃度(EST)의 關係를 比較検討하기 위하여 平均 EST/OBS 比를 보면 $\text{SO}_2 : 1.05$, $\text{NO}_2 : 1.48$, $\text{CO} : 0.017$, $\text{TSP} : 0.35$ 로 나타났다.

SO_2 의 경우를 보면 1985年 金等⁹이 서울市의 自動測定網에서 實測한 SO_2 濃度와 TCM으로豫測한 EST/OBS比의 平均值는 2.12로서 本研究結果值 1.05의 약 2倍였다. 그러나 1984年 溫山地域에서 金等²⁰이 調査한 TCM의 EST/OBS比는

Table 8. Relationship between estimated concentration(EST) and observed concentration(OBS).

| Sampling Sites | SO_2 (ppm) | | NO_2 (ppm) | | CO (ppm) | | TSP ($\mu\text{g}/\text{m}^3$) | |
|---------------------|---------------------|--------|-----------------------|--------|----------------------|--------|---|-----|
| | OBS | EST | OBS | EST | OBS | EST | OBS | EST |
| A - 1 | 0. 013 | 0. 017 | 0. 015 | 0. 002 | 0. 7 | 0. 003 | 49. 9 | 5 |
| A - 2 | 0. 015 | 0. 018 | 0. 014 | 0. 002 | 0. 6 | 0. 005 | 50. 5 | 4 |
| A - 3 | 0. 019 | 0. 019 | 0. 016 | 0. 001 | 1. 0 | 0. 009 | 60. 7 | 6 |
| A - 4 | 0. 011 | 0. 009 | 0. 012 | 0. 002 | 0. 9 | 0. 002 | 45. 8 | 4 |
| A - 5 | 0. 019 | 0. 017 | 0. 014 | 0. 001 | 0. 9 | 0. 005 | 55. 4 | 4 |
| A - 6 | 0. 012 | 0. 013 | 0. 017 | 0. 003 | 1. 0 | 0. 004 | 64. 2 | 5 |
| Regression Equation | $r = 0.766$ | | $r = 0.253$ | | $r = 0.302$ | | $r = 0.623$ | |
| | $Y = 0.83X + 0.003$ | | $Y = 0.0002X + 0.109$ | | $Y = 0.004X + 0.001$ | | $Y = 0.072X + 0.720$ | |

Table 9. Ratio between estimated concentration(EST) and observed concentration (OBS).

| Sampling Sites | Co-ordinate | | | EST/OBS Ratio | | |
|----------------|-------------|--------|---------------|---------------|--------|-------|
| | X | Y | SO_2 | NO_2 | CO | TSP |
| A - 1 | 169. 0 | 275. 0 | 1. 31 | 0. 33 | 0. 004 | 0. 10 |
| A - 2 | 169. 0 | 274. 0 | 1. 20 | 0. 36 | 0. 008 | 0. 79 |
| A - 3 | 171. 0 | 275. 0 | 1. 0 | 3. 44 | 0. 009 | 0. 99 |
| A - 4 | 167. 0 | 273. 0 | 0. 82 | 0. 17 | 0. 002 | 0. 09 |
| A - 5 | 171. 0 | 273. 0 | 0. 89 | 0. 36 | 0. 006 | 0. 07 |
| A - 6 | 174. 0 | 276. 0 | 1. 08 | 4. 23 | 0. 039 | 0. 08 |
| Average | | | 1. 05 | 1. 48 | 0. 017 | 0. 35 |

大氣污染自動測定網의 测定值의 경우 1.05였고 現場에서 實測된 경우는 1.08로서 本 調査結果와 거의 同一하게 나타났다. 또한 1986年 宋等¹¹이 華城郡을 對象으로 實測한 SO₂濃度와 TCM으로 예측한 EST / OBS 比도 1.08로 本 調査結果와一致하는 傾向을 보여주고 있다. 따라서 NO₂, CO, TSP에 對한 項目은 模型에 影響을 미치는 程度가 大體적으로 작게 나타났으며, 이는 移動排出源에서 排出되는 污染物質의 把握이 어렵고, 移動排出源에 依한 污染物質量을 考慮하지 않는 模型 自體의 特性에 起因되는 것으로 判斷된다.

本研究結果에서 나타난 바와 같이相關性分析과 實測值(OBS)와豫測值(EST)와의比較檢討에서도 TCM模型에 의한大氣汚染物質濃度豫測시 가장 잘附合되는項目은 SO_2 인 것으로判明되었다.

5. 對象地域의 SO₂ 低減方案

(1) 굴뚝의 有效높이 調節

大氣污染擴散模型은 대부분 Gaussian式을 變形하여 여러 形態의 模型이 開發되었으며, 煙氣上昇式과 擴散幅(σ_v , σ_z)算定 方式에 따라 結果과 달라진다. 그러므로 굴뚝높이, 排出速度와 같은 獨立變數의 狀態와 條件에 따라 달라지고 특히 排出熱量으로 热源規模가 決定되며 上昇式이 달라진다는 것은 이미 밝혀졌다.

排出热量 7,000 kcal / sec以上인 大規模 热源의 上昇式은 Lucas等의 Cefl式²¹, Carpenter의 TVA式²² 및 Okamoto, Okanishi式²³ 等이 있다. 또한 排出热量 2,000~7,000 kcal / sec인 中規模에 대해서는 Concave式²⁴, Briggs式²⁵ 等이 있고, 2,

000kcal / sec 以下인 小規模에는 Bosanquet式을 根據로 導入된 式을 適用하고 있다. 또한 Moses, Carson式²⁶ 回歸分析을 基礎로 大規模熱源뿐만 아니라 30kcal / sec 程度의 小規模 热源에도 많이 適用하고 있다. 따라서 本 研究에서는 2,000~7,000 kcal / sec를 基準으로 〈式 2〉와 같은 Briggs의 公式을 使用하여 本 對象地域의 點污染源의 굴뚝 有效 높이를 算定하여 TCM模型에 適用시킨 結果 Table 10과 같은 結果를 얻었다.

$$H \equiv 10, 6 \alpha^{0.5} \dots \dots \dots \quad (2)$$

여기서

日三最小 有效 電離子($m_1 < 200 m$)

$q = \text{SO}_2$ 排出率(m^3/h , 0°C)

Table 10에서 보는바와 같이 Briggs의 有效 끝뚝 높이를 算定한 後 모델링한 結果 各 地點에서 SO₂ 濃度가 全般的으로 減少하는 것으로 나타났으며, 6.0~18.2% 範圍의 SO₂ 濃度가 減少되고 平均 14.5%가 減少하는 것으로 나타났다.

本 모델링 결과 最大 SO_2 濃度는 少龍洞 隣接海
岸(X : 167.5, Y : 276.0) 地點에서 $101.59 \mu\text{g}/\text{m}^3$ 을
나타내었다. 이는 大部分의 工業施設이 少龍洞을
中心으로 位置하고 있기 때문에 本豫測值가 높게
나타난 것으로 思料된다.

(2) 低硫黃油의 使用

本對象地域의 點污染原은 總 42個地點으로 大部分 硫黃 含量이 1.6%인 B-C油를 使用하고 있으며, 燃燒時 大部分 SO_2 로 放出되어 對象地域 및隣近地域의 大氣 汚染을 加重시키고 있다. 一般的으로 SO_2 汚染度의 季節的인 變化를 보면 大體的

Table 10. Annual average SO₂ concentration after controlling stacks.

| Sampling Points | Co-ordinate | | Annual SO ₂ Concentraion ($\mu\text{g}/\text{m}^3$) | SO ₂ Concentration after controlling Stack ($\mu\text{g}/\text{m}^3$) |
|-----------------|-------------|--------|--|--|
| | X | Y | | |
| A - 1 | 169. 0 | 275. 0 | 56 | 47 (16. 1 %) |
| A - 2 | 169. 0 | 274. 0 | 55 | 45 (18. 2 %) |
| A - 3 | 171. 0 | 275. 0 | 53 | 44 (17. 0 %) |
| A - 4 | 167. 0 | 273. 0 | 30 | 26 (13. 3 %) |
| A - 5 | 171. 0 | 273. 0 | 50 | 47 (6. 0 %) |
| A - 6 | 174. 0 | 276. 0 | 24 | 20 (16. 6 %) |
| Average | | | 44. 7 | 38. 2 (14. 5 %) |

으로 겨울철에 가장汙染度가 심하며 여름철에는汙染度가 낮은傾向을 보이고 있다. 이러한原因是 겨울철에는家庭暖房用燃料使用의急増으로 因하여點汙染源은 아니라面汙染源으로부터의 SO_2 排出量이 많아지기 때문으로推斷된다.

本對象地域의季節別 SO_2 濃度變化는光州環境支廳의群山市測定結果(1988年)를利用하였으며, Fig. 3에서 나타난바와같이 겨울철에 가장높게나타났으며, 여름철에 가장낮게나타났다. 따라서燃料使用量의增減에 따라大氣中의 SO_2 濃度가變化하며 다른點污物質의濃度도 이와類似한比率로變化된다고推測할수있다.

그러므로本對象地域內의點污染源에서使用하는燃料의硫黃含量을50%로減少시켰을때, 즉0.8%低硫黃油를燃料로使用時本對象地域에서排出되는 SO_2 豫測濃度는Table 11에나타내었다.

Table 11에서나타난바와같이現在燃料로使用中인B-C油의硫黃含量을50%로减少시켜모델링한結果,各地點에서의 SO_2 豫測濃度는 $10\sim27\mu\text{g}/\text{m}^3$ 로나타났다. 이것은全般的으로 $49.1\sim63.3\%$ 의範圍로 SO_2 가减少된셈이며平均减少率은53.3%이었다.

따라서TCM을利用하여 SO_2 排出濃度를豫測한結果,굴뚝의有效높이를調節했을境遇Table 10에서와같이平均减少率이14.5%에不過한反面에低硫黃燃料를使用시에는Table 19에서보는바와같이average减少率이53.3%로約3.7倍나높은低減效果를볼수가있어本調查對象地域의大氣中 SO_2 濃度를减少시키는데에는低硫黃燃料를使用하는것이더效果的인것으로判明되었다.

V. 結論

群山工業地域에對하여 1989. 6. 28~1989. 7. 3 까지 2회에 걸쳐大氣質을實測한結果와既存의污染源及氣象資料를利用하여 TCM模型의適用可能性을檢討하였다.

測定對象項目으로는 SO_2 , NO_2 , CO , TSP로서實測值와豫測值의相關性을比較檢討하였으며,大氣質污染低減方案으로는有效높이의調節과低硫黃油使用的境遇로나누어豫測하였다. 本率로變化된다고推測할수있다.

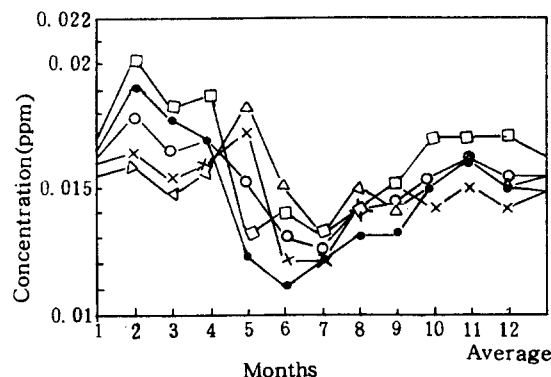


Fig. 3. Monthly variation of SO_2 concentration in GUNSAN area determined by KWANGJU branch of environmental administration.

| | |
|--------------------------|------------------|
| \triangle Miweon Dong | • Kyeong Am Dong |
| \square Gae Jeong Dong | \circ Average |
| \times JungAng Dong | |

Table 11. Annual average SO_2 concentration after reducing sulfur content of fuels.

(): reduction rate

| Sampling Points | Co-ordinate | | Annual Average SO_2 Concentration ($\mu\text{g}/\text{m}^3$) | SO_2 Concentration after Reducing Sulfur Content of Fuels |
|-----------------|-------------|-------|---|--|
| | X | Y | | |
| A-1 | 169.0 | 275.0 | 56 | 27 (51.8%) |
| A-2 | 169.0 | 274.0 | 55 | 26 (52.7%) |
| A-3 | 171.0 | 275.0 | 53 | 27 (49.1%) |
| A-4 | 167.0 | 273.0 | 30 | 11 (63.3%) |
| A-5 | 171.0 | 273.0 | 50 | 24 (52.0%) |
| A-6 | 174.0 | 276.0 | 24 | 10 (58.3%) |
| Average | | | 44.7 | 20.8 (53.5%) |

研究結果를 要約하면 다음과 같다.

1. 本 對象地域에 對하여 實測한 SO_2 , NO_2 , CO , TSP 의 平均濃度는 各各 0.011~0.019 ppm, 0.012~0.017 ppm, 0.6~1.0 ppm, 45.8~64.2 $\mu\text{g}/\text{m}^3$ 으로 모두 環境基準 以內로 調査되었다.
2. 調査對象 地域에서의 汚染物質 排出量은 面污染源에 依한 量은 적은 反面에 點污染源의 量은 상당히 높았으며, 排出量의 大部分을 차지하고 있었다.
3. 實測濃度와 豫測濃度가 가장 잘 附合되는 項目은 SO_2 이었으며, 이때 相關計數 R값은 0.766으로서 높은 相關性을 나타내었다.
4. 굴뚝의 有效높이 調節에 依한 大氣中의 SO_2 濃度는 平均 14.5% 低減되는 것으로 豫測되었고, 低硫黃油 代替 使用으로 因한 SO_2 濃度의 低減效果는 平均 53.3%로 有效煙突高를 調節하는 것보다 黃含量이 적은 低硫黃油를 使用하는 것 이 더욱 effect가 있는 것으로 나타났다.
5. 實測한 SO_2 의 濃度와 豫測한 SO_2 濃度와의 比는 1.05로 大氣中의 SO_2 濃度와의豫測하는데 TCM模型의 適用 可能性이 매우 큰것으로 判斷되었다.

参考文獻

1. U.S. EPA : Guideline on Air Quality Models. 2nd edition, 2-1-6. U.S. EPA, 1984.
2. Authur C. Stern : Air Pollution. 2nd edition, Vol. 1, p187. Academic press, 1968.
3. H. Moses : Mathematical Urban Air Pollution Models, AN / ES-RPY-001, Argonne Nat. Lab. U.S.A., 1969.
4. D.H. Slade : Meteorology and Atomic Energy. U.S. Atomic Energy Commission, 1968.
5. 尹明照 : 서울市의 氣候要素가 大氣汚染에 미치는 影響, 保健社會部 研究報告書, 133~191, 1972.
6. 이은호, 신웅배 : 蔚山石油化學團地 環境管理體制의 運營效率化 研究, 蔚山石油化學團地 管理渾營協議會 報告書, 1979.
7. 신웅배, 이광호, 송동웅, 한건연, 류병로 : 大氣, 水質 環境管理 電算모델 研究(第1次), 韓國科學技術院 研究報告書, 1982.
8. 신웅배, 안규홍, 송동웅, 류병로, 박완철, 최용수, 방기웅, 서승원, 김경섭, 황규성 : 大氣, 水質 環境管理 電算모델 研究(第2次), 韓國科學技術院 研究報告書, 1984.
9. 金良均, 崔德一, 李敏熙, 趙康來, 崔振均, 鄭長海 : 大氣汚染擴散 모델 開發에 關한 研究, 韓國大氣保全學會誌, 第1卷, 53~70, 1985.
10. 宋琪裕, 任興宰, 尹明照 : 特定地域의 大氣汚染 擴散모델 開發에 關한 研究, 韓國大氣保全學會誌, 第2卷 2號, 19~30, 1986.
11. 송동웅, 김면섭, 신웅배 : 大氣汚染 豫測에서 TCM과 CDMQC의 比較, 韓國氣保全學會誌, 第3卷 1號, 1987.
12. 李德吉, 金良均, 羅振均, 李錫祚, 柳承道, 金振奎, 金正洙, 朴譜賢, 金明植 : 大氣汚染豫測 모델 開發에 關한 研究(II), 國立環境研究院, 1987.
13. 李種範 : Texas Climatological Model에 依한 短期 大氣汚染濃度 發生頻度의 推定, 韓國大氣保全學會誌, 第4卷 2號, 1988.
14. 姜寅求, 金良均, 羅振均, 李錫祚, 柳承道, 金振奎, 金正洙, 朴譜賢 : 大氣汚染豫測 모델 開發에 關한 研究(III) - 數值모델을 中心으로 -, 國立環境研究院, 1988.
15. G.A. Briggs, Plume Rise : ACE Critical Review Series, TID-25075, Atomic Energy Commission, Washington, D.C., 1969.
16. 環境廳 : 環境汚染公正試驗法, 1988.
17. 動力資源部 : 에너지 센서스 結果 報告書, 1981.
18. 崔德一, 金良均, 劉基湖, 排貞伍 : 主要 大都市 大氣汚染排出源別 汚染物質 排出負荷量 算定에 關한 研究, 國立環境研究所報, 1984.
19. U.S.EPA : Compilation of Air Pollutant Emission Factors, U.S. EPA, 1984.
20. 김정욱, 권태준 : 蔚山溫山工團 被害住民 移住 對策을 為한 調査 研究, 서울大學校 環境計劃研究所, 1984.
21. D.H. Lucas : Application and Evaluation of the Tilbury Plume Rise and Dispersion Experiment, Atmospheric Environment, 421~424, 1967.
22. S.B. Carpenter : J.A. Fizzola, et al., Report of

- Full-scale Study of Plume Rise at Large Electric Generating Stations. Journal of Air Pollution Control Association, 18, 458, 1968.
23. 岡本眞一, 岡西祥太郎, 監澤清茂 : 排煙上昇高度計算式に関する研究, 大氣汚染學會誌, 14, 1979.
24. Concawe : The Calculation of Dispersion from a Stack, Conservation of Clean Air and Water, Western Europe, 1966.
25. G.A. Briggs, Plume Rise: ACE Critical Review Series, TID-25075, Atomic Energy Commission, Washington, D.C., 1969.
26. H. Moses, J.E. Carson : Stack Design Parameters Influencing Plume Rise, 56th Annual Meeting Air Pollution Control Association, 1967.